

C-N 코팅 스퍼기어의 摩擦·磨耗 特性에 관한 研究

盧 龍¹(中國 重慶大學 機械傳動國家重點實驗室 訪問學者, 中國 延邊大學),
柳晟基²(慶尚大學校 機械航空工學部, 航空機部品技術研究所)

A Study on the Friction and Wear Characteristics of C-N Coated Spur Gear

¹Long-Lu*(The State Key Laboratory on Mechanical Transmission, Chongqing Univ., China,
Yanbian Univ., China) lulong1122@hanmail.net,

²Sung-ki Lyu(School of Mechanical & Aerospace Eng., ReCAPT. Gyeongsang Nati. Univ.)
lsk6072@hanmail.net

ABSTRACT

This study deals with the friction and wear characteristics of C-N coated spur gear. The PSII apparatus was built and a SCM415 test piece and test gear with steel substrate was treated with carbon nitrogen by this apparatus. The composition and structure of the surface layer were analyzed and compared with that of PVD coated TiN layer. It was found that both of friction coefficients of C-N coating and TiN coating decreased with increasing load, however, C-N coating showed relatively lower friction coefficient than that of TiN coating. We investigated the effect of C-N coating on hardness, friction and wear. The TiN coated gear showed more serious friction phenomena than that of C-N coated gear. It was considered that coating of TiN, which was conducted at a vacuum chamber at about 500°C, results in a tempering of base material that causes microstructure change, which in turn resulted in decreasing of hardness. The C-N coated gear and pinion had higher wear resistance than that of TiN coated gear and pinion. C-N coating significantly improved the friction and wear resistance of the gear.

Keywords : plasma source ion implantation, none-line-of-sight process, gear, friction and wear.

1. 서 론

기어는 동력전달장치에 가장 많이 사용하고 있는 핵심부품이며, 산업발달과 함께 출력향상과 동력전달의 효율을 증가시키기 위하여 소형화, 경량화, 저진동, 저소음화, 저비용, 고강도 및 내마모성이 높은 기어를 요구하고 있다.

기어는 고강도, 기어 중심부의 내 충격인성, 기어표면의 고경도와 고내마모성을 갖추어야 한다. 이 요구를 만족시키기 위한 기어 표면경화 처리방법에는 전통적인 열처리방법 외에 날로 발전하고 있는 여러 가지 표면개질기술이 폭넓게 응용되고 있다.

플라즈마 이온주입 PSII(plasma source ion implantation)법은 주입하고자 하는 물질을 기체상태로 플라즈마를 형성시킨 후, 처리하고자 하는 소재에 고전압의 바이어스(bias)를 인가함으로써 플라즈마 중의 양이온들이 200°C에 불과한 낮은 온도에서 소재의 표면에 충돌/주입되어 소재주위에 플라즈마 피복(plasma sheath)이 형성되며, 이온들은 소재의 모든 표면에 입사/충돌을 일으키게 되므로¹⁾ 2차원적인 공정의 한계를 극복할 수 있는 3차원적인 공정으로 처리해야 하는 표면적이 넓고 표면형상이 복잡한 경우에도 쉽게 적용이 가능하다는 장점이

있다. 따라서 볼 베어링, 구멍의 내부표면 등 형상이 복잡하고 크기가 다양한 경우 증착할 수 있는 우수한 방법이다²⁾.

M. Murakawa³⁾등은 PVD법으로 SCM415강인 스퍼기어 표면에 경도값 1100 Hv, 두께 1.52 μm인 WC/C박막을 증착시켜 무 윤활상태에서 기어의 사용수명을 3배 연장시켰고 WC/C박막을 증착시키기 전에 MSP(micro shot peening)공정을 실시하여 기어의 사용수명을 더욱 효과적으로 향상시켰으며 헬리콥터 기어 등 윤활유를 주유시킨 후 무 윤활상태의 특수한 조건에서 사용수명 연장에 관한 연구를 하였다. J. C. Jiang⁴⁾ 등은 스퍼기어 표면에 W-DLC 박막을 증착시켜 "four-square" 기어 시험기와 TEM을 사용하여 코팅기어의 파손기구에 대하여 결합형태를 고찰하였다.

앞으로 박막증착기술의 발전은 기술의 복합화를 위해 병행으로 이루어질 것으로 예측된다. 즉, 폭넓은 산업현장에서 요구하는 구체적인 용도에 맞도록 다양한 박막재료를 혼합하여 다층, 다성분의 박막을 제조하는 기술이 요구된다.

본 연구에서는 항공기, 자동차, 오토바이, 일반산업 기계 등에 널리 사용되고 있는 기어의 내마모성에 관한 연구를 하기 위하여 기어재료인 SCM415 합금강을 시험편재료로 선택하여 플라즈마 이온주입법 PSII으로 시편 및 기어표면에 C-N박막을 증착시켜 PSII 코팅층의 특성을 고찰하고, C-N코팅과 TiN코팅의 마찰계수와 임계하중을 구하였다. 그리고 C-N코팅 시편의 마모기구를 규명하여, C-N코팅기어와 TiN코팅기어의 마찰·마모 특성을 고찰하고자 한다. 또한 내마모성을 향상시키기 위한 기어코팅기술 등을 연구하고자 한다.

2. 시험편 및 실험방법

2.1 시험편

본 연구에서 사용한 시편과 시험기어 재료는 기어재료에 널리 사용하고 있는 KSD 규격인 SCM 415강을 사용하였다. 시편은 지름이 Ø30이고 두께가 10 mm인 디스크 타입으로 가공하고 시험기어의 형상과 제원을 Table 1에 나타냈다. 그리고 플라즈마 이온주입시험기와 물리증착시험기를 사용하여 시편과 시험기어의 표면에 C-N박막과 TiN박막을 증착하였다.

2.2 실험장치

시험편을 기어표면에 고경도 박막층을 증착시키기 위하여 플라즈마 이온주입시험기 (PSII-EX)를 사용하였다. 실험장치는 진공로, 진공펌프, 타겟 테이블(target table), 자기여과도관(magnetic filtering duct), 음극, 바이어스 전압과 기체입구 등으로 구성되어 있다.

본 실험에서는 볼 온 디스크타입으로 상대시편인 세라믹 볼을 회전하는 박막증착된 시험편을 디스크위에 올려놓고 일정한 하중으로 가압하면서 상온, 상압, 무 윤활유 상태에서 마찰·마모시험을 수행하였다. 실험순서는 초음파세척, 건조, 마찰·마모시험, 초음파세척, 건조, 현미경 관찰, 표면조도측정의 순으로 수행하였다.

Table 1 Dimension of the test gear

	pinion	gear
Material	SCM415	
Tooth shape	involute	
Number of teeth	17	32
Module	1.75	
Pressure angle	20°	
Modification coeff.	0.6	0.8
Face width	12mm	9mm
Span gage (5 teeth)	-0.042 -0.085	-0.042 -0.085
Finish	grinding,	

마찰·마모의 실험조건은 미끄럼속도를 100 mm/sec로 항상 일정하게 하고 하중은 50, 100, 150 N으로 변화시키면서 200 μm 의 곡률을 가진 다이아몬드 입자로 실험을 하였으며, 시험편마다 5회씩 측정하여 그 평균값을 구하였다.

시험기어 표면에 C-N과 TiN 박막을 증착한 시험기어의 마찰·마모실험은 기어 마찰·마모시험기를 사용하였다. 기어 마찰·마모시험기는 크게 모터, 회전속도와 토크센서, 기어박스, 브레이크 등으로 구성되어 있다. 박막을 증착한 시험기어를 기어박스에 장착시키고, 적절한 윤활유를 기어박스에 투입하여 기어를 운활 시키면서 모터 파워 4 Kw, 회전속도 1800 rpm에서 실험하였다. 브레이크는 0~50 N·m의 하중을 무단변속 시킬 수 있으며 입력부와 출력부의 토크와 축 회전속도를 제어할 수 있다. 그리고 윤활유의 온도를 실시간으로 측정하였다.

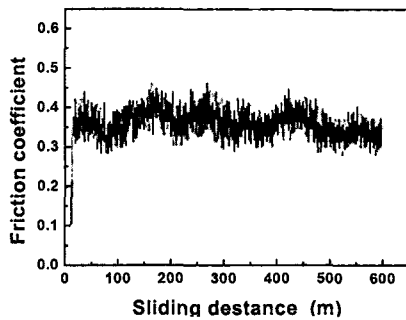
3. 실험결과 및 고찰

3.1 하중에 따른 마찰계수의 변화

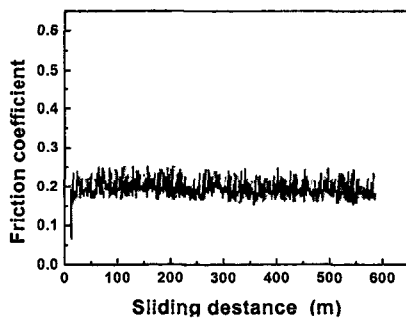
Fig. 1(a)와 (b)는 50 N의 수직하중과 100 mm/sec의 미끄럼속도에서 두께가 3.1 μm 인 TiN박막과 C-N박막층에 대한 마찰계수의 변화를 나타낸 그림이다. Fig. 1(a)에서 TiN박막층의 평균마찰계수는 0.364로서 Fig. 1(b)의 C-N 박막층의 평균마찰계수 0.192보다 높게 나타났으며, C-N박막층의 마찰계수의 변화는 TiN박막층의 마찰계수의 변화보다 더 안정적으로 나타났다.

Fig. 2는 각 시험편에 대한 수직하중의 변화에 따른 마찰계수의 평균값을 나타낸 그림이다. 수직하중을 50, 100, 150 N으로 주었을 때 C-N박막층의 평균마찰계수는 0.192, 0.166, 0.153으로 나타났으며, TiN

박막층의 평균마찰계수는 0.364, 0.327, 0.302로 나타났다. 여기서 마찰계수는 하중의 증가에 따라 다소 감소하는 경향으로 나



(a) Thickness of TiN film=3.1 μm , Load=50 N



(b) Thickness of C-N film=3.1 μm , Load=50 N
Fig. 1 Friction coefficient of specimens as a function of sliding distance

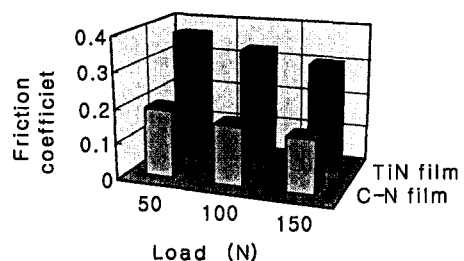


Fig. 2 Comparison of friction coefficient for specimens of TiN and C-N

타났다. 동일하중일 때 C-N박막층의 마찰계수는 TiN박막층의 마찰계수보다 작게 나타났다.

Fig. 2에서 알 수 있듯이 마찰계수는 하중의 증가에 따라 다소 감소하는 경향으로 나타났으며, 동일하중일 때 C-N박막층의 마찰계수는 TiN박막층의 마찰계수보다 작게 나타났다. 응착이론에 의하면 응착마모 과정에서 마찰계수 μ 는 아래 식과 같이 표시한다.

$$\mu = \tau / \sigma_s \quad (1)$$

여기서 τ 는 두 접촉표면의 응착전단강도, σ_s 는 마찰표면의 항복강도이다.

질소를 SCM415강 표면에 주입한 후 표면을 강화시킴으로써 마찰표면의 항복강도를 향상시키는 한편 가는 입자형 질화물을 생성함에 따라 연한 페라이트의 연속성을 파괴하므로 마찰하는 두 표면의 접착력을 감소시킨다. 즉 τ 를 감소시켜 마찰계수를 현저하게 감소시키면서 내마모성이 향상된 것으로 생각된다.

3.2 C-N 중착 전후의 경도와 마찰계수 비교

경도시험과 미끄럼 마찰실험결과를 Fig. 3과 Fig. 4에 나타냈다. PSII를 처리한 경우 경도는 Fig. 3에서 알 수 있듯이 61~70% 높게 나타났고, 마찰계수는 Fig. 4에서 알 수 있듯이 14~50% 낮게 나타났다. 비커스 경도가 3200 Hv까지 도달하는 것을 보면 탄화물이 높은 경도에 중요한 역할을 한 것으로 사료된다. Fig. 5의 마찰실험 후 시편의 마모흔적을 관찰하면 PSII 처리전 SCM415강의 마찰흔적이 미세한 형태로 뚜렷한 응착마모 특징이 보이

고 마모된 표면에 구멍이 일부 나타났다. 그러나 PSII처리한 SCM415강의 시험편은 마찰면이 아주 평활하고 서로 평행한 적은 마모흔적과 가벼운 산화흔적이 나타났다. PSII기술을 이용하였기 때문에 마모기구는 응착마모로부터 가벼운 산화마모로 변화하면서 마모를 훨씬 감소시켰다.

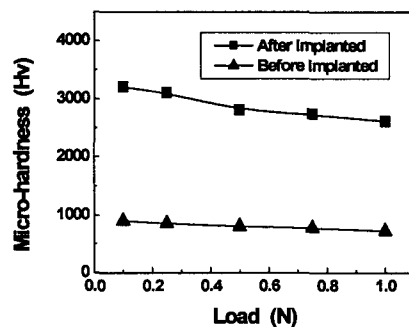


Fig. 3 The relationship between the micro-hardness and loads

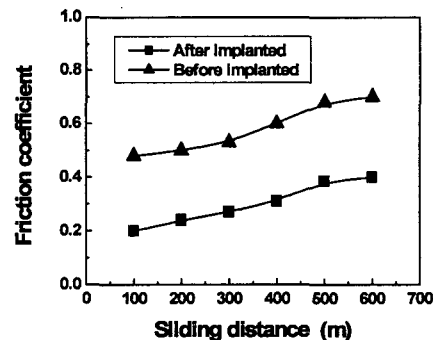


Fig. 4 The relationship between the friction coefficient and sliding distance

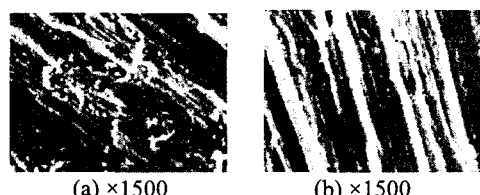


Fig. 5 The wearing surface of specimen of SCM415 (a) before implanted and (b) after implanted

4. 시험기어의 마찰·마모

물리증착 시험기(TX6 MS)를 사용하여 기어와 피니언에 TiN박막을 입힌 시험기어 이를 절단하여 금속조직을 관찰하고 모재의 경도를 측정하였다. Fig. 6에서 알 수 있듯이 마르텐사이트조직과 잔류 오스테나이트 조직에서 뜨임 트루스타이트 조직으로 변화하는 경향을 관찰할 수 있었다. 표면 경도는 857 Hv에서 628~649 Hv로 떨어졌다. 이것은 TiN코팅공정에서 진공로 온도가 약 500°C이므로 SCM415강이 템퍼링처리 되면서 금속조직을 변화시키고, 표면 경도를 떨어뜨린 것으로 사료된다.

회전속도 1800 rpm, 하중 4~20 N·m에서 마찰·마모실험한 TiN코팅 기어와 피니언의 표면 사진을 Fig. 7에 나타냈다. Fig. 7에서 알 수 있듯이 기어 표면이 폐치원 부분에서 심한 마모현상을 관찰할 수 있었다. 시험편 마찰·마모실험과 동일하게 모재의 경도가 떨어지면서 코팅층에 대한 지지력이 약화되어 마모현상이 쉽게 발생한 것으로 예측된다. C-N코팅한 기어와 피니언을 마찰·마모 실험 후 기어와 피니언의 사진을 Fig. 8에 나타냈다. TiN코팅한 기어가 피니언의 파손 보다 적지만 폐치원부분에서 파손된 흔적을 관찰할 수 있었다. 기어와 피니언 표면은 모두 경한 C-N박막을 입혔지만 반드시 초기 마모과정이 경과되어야 하므로 기어와 피니언 표면에 부득불 마모현상이 발생한 것으로 생각된다.

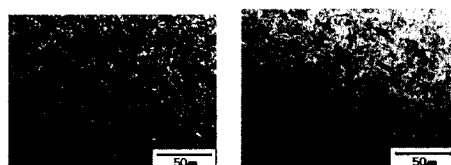
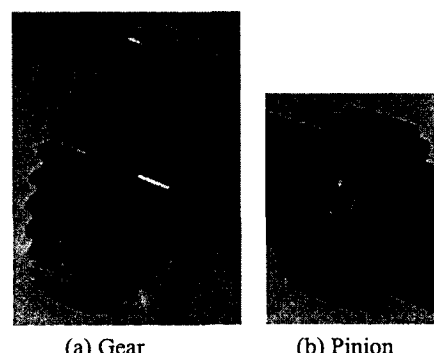


Fig. 6 Microstructure of specimen coated with TiN film ($\times 500$)



Fig. 7 The surface of gear and pinion coated with TiN film after test



(a) Gear (b) Pinion

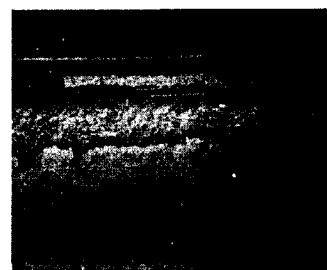


Fig. 8 The surface of gear and pinion coated with C-N film after test



Fig. 9 The surface of pinion coated with C-N film after test

따라서 C-N코팅한 피니언과 코팅하지 않은 기어의 마찰·마모시험을 해보았다. 마찰·마모시험 결과는 Fig. 9에 나타난 바와 같이 매우 향상되었다. 치면에는 미세한 긁힌 흔적이 발견되었고 이뿌리 부분에 조그만한 마모현상이 나타났는데 이것은 코팅전에 치형수정법으로 억제할 수 있을 것으로 생각한다.

5. 결 론

본 연구에서는 SCM415합금강 시편과 시험기어에 침탄열처리와 C-N, TiN박막 코팅을 시켜 상온, 상압 및 무윤활상태에서 볼온 디스크타입 마찰 마모시험기로 시편의 마찰 마모실험을 하였고, 시험기어의 마찰 마모실험을 하여 기어의 내마모성을 향상시키기 위한 기어코팅기술을 연구하였다. 본 연구에서 얻은 결과들을 요약하면 다음과 같다.

1. C-N박막과 TiN박막의 마찰계수는 하중의 증가에 따라 다소 감소하는 경향으로 나타났고, 동일한 하중일 때 C-N박막층의 마찰계수는 TiN 박막층의 마찰계수보다 작게 나타났다.

2. 플라즈마 이온주입법으로 C-N코팅을 한 경우 경도는 모재보다 61~70% 증가하였으며, 마찰계수는 14~50% 감소되었다. 또한 C-N박막층의 마찰기구는 응착마모로부터 산화마모로 변화되는 것이 관찰되었다.

3. TiN코팅기어는 C-N코팅기어보다 마모현상이 크게 나타났다. TiN코팅시 500°C에 달하는 진공로내의 온도로 인하여 기어 모재가 템퍼링 처리되면서 금속이 변화되고 모재의 경도가 저하되므로 코팅층에 대한 지지력이 떨어져 코팅층이 파손된 것으로 추정된다.

4. C-N코팅한 기어와 피니언은 TiN코팅보다 마모 현상이 적게 나타났고 C-N코팅한 피니언과 코팅을 하지 않은 기어의 마찰·마모 시험결과 마찰·마모 특성이 현저하게 제거됨을 알 수 있었다.

후 기

이 論文은 中國 重慶大學 機械傳動 國家重點 實驗室 訪問學者經費支援, 2004年度地方大學革新力量強化事業, BK21, 航空機部品技術研究센터의 클러스터사업支援에 依해研究되었으며 이에 感謝 드립니다.

참고문헌

1. J. R. Conrad, A. Dodd and F. J. WorzalaX. Qiu, "Plasma Source Ion Implantation: A New, Cost-Effective, Non-Line-of-Sight Technique for Ion Implantation of Materials," Surf. & Coat. Tech., Vol. 36, pp.927-937, 1998.
2. Z. M. Zeng, T. K. Kwok, X. B. Tian et al., "Plasma Immersion Ion Implantation into Inner and Outer Races of Industrial Bearings," Surf. & Coat. Tech., Vol. 120-121, pp. 663-667, 1999.
3. M. Murakawa, T. Komori, S. Takeuchi et al., "Performance of a Rotating Gear Pair Coated with an Amorphous Carbon Film under a Loss-of-Lubrication Condition," Surf. & Coat. Tech., Vol. 120-121, pp. 646-652, 1999.
4. J. C. Jiang, W. J. Meng, A. G. Evans et al., "Structure and Mechanics of W-DLC Coated Spur Gears," Surf. & Coat. Tech., Vol. 176, pp.50-56, 2003.